

日大 理工(正) 栗津清蔵

日大 理工(正) 大津岩夫

日大 理工(学)○武中信之

傾斜水路の跳水特性を知ることは傾斜水印型減勢工の設計上、また貯水池などへ流入する流れの特性を知るために必要である。跳水が傾斜面と水平面とにまたがり形成されている場合(B型跳水とよぶことにする)の水理特性、特に跳水の形成条件、内部の流速特性、跳水領域の大きさについては、現在のところ不明である。ここでは、B型跳水の水理特性について実験的検討を加えた。

### [1] 跳水の形成条件

跳水の形成条件は最大流速の減衰状況から、図-1のようにまとめられる。

最大流速 $U_m$ の減衰が壁面噴流と同様な場合は、流速の減衰に対する自由水面の効果はなく、跳水としてではなく壁面噴流に近い現象(Type D)として取り扱われる。

$U_m$ の減衰が壁面噴流の場合よりも大きく、しかも流速が十分に減衰している場合、流速の減衰に対する表面渦の効果が大きいものと考えられ、B型跳水が形成される。B型跳水のうち、流速の減衰が急速な場合をType B-1、流速の減衰に要する流下距離の長い場合をType B-2とする。また、 $z/d_1 \leq 40 \sim 60$ °では、 $U_m$ はかなり減衰するが、 $z/d_1 \geq 40 \sim 60$ °の減衰は小さく、遷移部終端を定めることが困難な場合をType A'とする。

### [2] 跳水領域の大きさ

跳水内部の最大流速は水路床に近い位置に生じ、主流は水路床に沿っていることが実験により確かめられた。 $U_m$ が十分に減衰し、しかも流下方に向かって変化しなくなる最初の断面を跳水終端断面とし、跳水始端から終端断面までの水路床に沿った長さを $l_0$ とする。 $l_0$ は跳水によるエネルギー損失に関係するものと考え、式(1)の関係に基づき実験値を整理すると、図-2のように良い相関が示され、実験式(2)が得られる。

$$f(l_0/H_L, H_L/H_1) = 0 \quad (1)$$

$$\log_{10}(l_0/H_L) = -1.71 H_L/H_1 + 1.53 \quad (2)$$

$$14^\circ \leq \theta \leq 55^\circ \quad F_1 \geq 4.0 \quad l_0/L \geq 0.6$$

なお図中の点線は水平水路の自由跳水および翻り跳水を示す式(3)である。

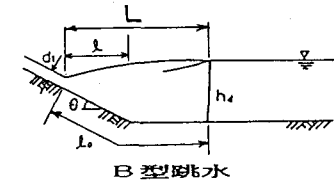
$$\log_{10}(L/H_L) = -1.71 H_L/H_1 + 1.58 \quad (3)$$

### [3] 基本水理量間の関係

跳水部を検査面に選び、運動量方程式を適用すると次の関係が推論される。

$$f(hd/d_1, l/d_1, F_1, \theta) = 0 \quad (4)$$

与えられた $H_1/\sqrt{gd_1}$ (=  $F_{H1}$ )、 $d_1$ のもとでの水平水路の跳水終



傾斜角度 $\theta$	遷移部が傾斜面上と 水平面上とにまたがる場合
$\theta \approx 22^\circ \sim 23^\circ$	Type B-1
$23^\circ \sim 24^\circ$ $28^\circ \sim 29^\circ$	Type B-1 $hd/hz \leq 1.8$ Type B-2 $1.8 \leq hd/hz \leq 3.0 \sim 3.2$ Type A' $hd/hz \geq 3.0 \sim 3.2$
$\theta \approx 29^\circ \sim 30^\circ$	Type B-1 $hd/hz \leq 1.5 \sim 1.7$ Type B-2 $1.5 \sim 1.7 \leq hd/hz \leq 3.0 \sim 3.2$ Type D $hd/hz \geq 3.0 \sim 3.2$

(  $F_1 \geq 4$  )

图-1

端水深  $h_z$  と比較するため、無次元量  $l/h_z$ ,  $(hd - h_z)/h_z$  を用いて表示すると、式(4)は次のよう  
に示される。

$$\int \left( \frac{l}{h_z}, \frac{hd - h_z}{h_z}, \frac{v_i}{\sqrt{gd}}, (=F_H), \theta \right) = 0 \quad (5)$$

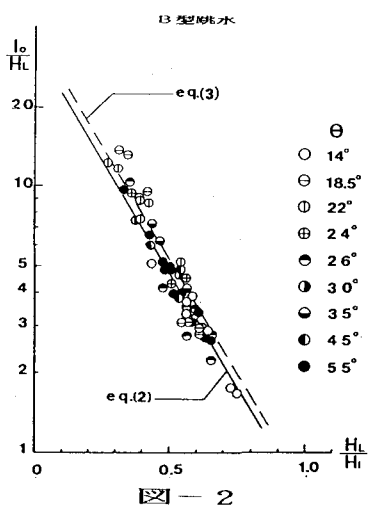
式(5)の関係が実験値を整理すると、図-3に示されるように  $F_H$  に無関係に式(6)の関係が表示され、実験  
式(7)が得られる。

$$\int \left( \frac{l}{h_z}, \frac{hd - h_z}{h_z}, \theta \right) = 0 \quad (6)$$

$$\frac{l}{h_z} = \frac{1.58}{(\tan \theta)^{0.93}} \left( \frac{hd - h_z}{hd} \right)^{0.69} \quad (7)$$

図-3から明らかなように実験式(7)は、 $8.5^\circ \leq \theta \leq 55^\circ$  の範囲でよく適合していることがわかる。  
3)

傾斜水路における跳水の  $l$  および  $L$  については、水理公式集にその算定式が提案されている。しかしながら、  
 $L_{TypeB} = L_{TypeA}$  ( $TypeA$ : 跳水が傾斜面上に形成されている場合) としている。また、その適用範囲は  
 $\tan \theta \leq 0.3$  ( $= 16.7^\circ$ ) である。ここで提案した実験式(2), (7)を用いれば、 $14^\circ \leq \theta \leq 55^\circ$  の場合につい  
て  $l, L$  の算出が可能である。



注)

跳水部(図-4)をコントロール・ボリュームに選び、壁面摩擦力およびコントロール・ボリューム表面での Reynolds 広力を無視し、 $\beta_1 = \beta_d = 1$  として、水路傾斜方向に運動量方程式を適用すると式(1)が得られる。

$$P_1 - P_d \cos \theta + W' \sin \theta + (W_H - F_H) \sin \theta = \rho g (v_d \cos \theta - v_i) \quad (1)$$

ここに、 $P_1$  は断面 I に作用する圧力、 $P_d$  は断面 II に作用する圧力、 $W'$  は I-J 断面間(図-4)の水の重さ、 $W_H$  は J-II 断面間(水路水平部)の水の重さ、 $F_H$  は水路水平部の表面力(圧力)の合計、 $v_d = q/h_d$  である。

跳水の水面形を直線と仮定し、実際の水面形との相違を係数  $k'$  で補正すると、  
 $W' = wA'_j$ 、 $A'_j = k' (d_j / \cos \theta + h_j) / 2 + d_j \tan \theta / 2$  ( $h_j$ : J 断面の水深) と示される。また、 $P_1 = w d_i^2 \cos \theta / 2$ 、 $P_d = w h_d^2 / 2$  とし、J-II 断面間で圧力は静水圧分布するものと仮定すると、 $W_H = F_H$  となるから、式(1)は次のように無次元表示される。

$$\left( \frac{h_d}{d_i} \right)^2 - \left[ k' \left( \frac{l}{d_i} \right) \left( \frac{1}{\cos \theta} + \frac{h_j}{d_i} \right) \tan \theta + 2F_1^2 + 1 + \tan^2 \theta \right] \frac{h_d}{d_i} + 2F_1^2 \cos \theta = 0 \quad (2)$$

B 型跳水の場合は、 $h_j/d_i = f(h_d/d_i, F_1, \theta)$ 、 $k' = f(h_d/d_i, F_1, \theta)$  と考えられ、式(2)から次の関係が得られる。

$$f(h_d/d_i, l/d_i, F_1, \theta) = 0$$

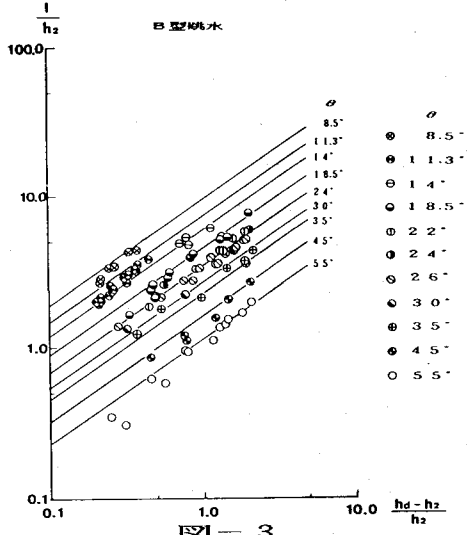


図-3

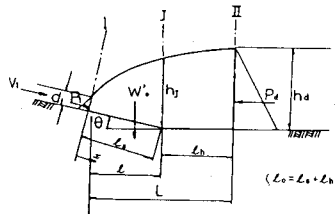


図-4

(記号)

$v_i$  : 跳水始端の平均流速、水深、 $F_1 = v_i / \sqrt{gd} \cdot \cos \theta$   
 $h_z = d_i (\sqrt{8F_1^2 + 1} - 1) / 2$ 、 $hd$  : 跳水始端の水深  
 $H_1$  : 跳水終端の水路床を基準としたときの跳水始端断面の全水頭  
 $H_d$  : 跳水によるエネルギー損失、 $F_d = v_i / \sqrt{gd}$

(参考文献)

1) 大津、三浦：第38回土木学会年講 II-188, 1983

2) 大津 : 土木学会論文集, 1976.2

3) 水理公式集, 昭和65年度版, P. 313